

94-210



сообщения
объединенного
института
ядерных
исследований
дубна

P19-94-210

В.С.Барашенков, Я.Г.Гальперин*, М.В.Ляблин

ВЛИЯНИЕ БИОПОЛЯ
НА СВОЙСТВА ЖИДКИХ СРЕД

*Всероссийский научно-исследовательский центр
традиционной народной медицины, Москва

1994

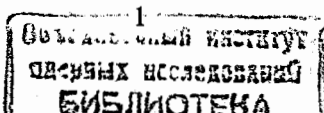
Способность особо одаренных и тренированных лиц (экстрасенсов) оказывать значительно более сильное дистанционное воздействие на свойства живых и неживых объектов, чем это может сделать «рядовой человек», подтверждается многочисленными наблюдениями. В научном исследовании этого поразительного на первый взгляд явления¹⁾ можно выделить два аспекта: объяснение его физического механизма (на основании уже известных законов или с помощью новых гипотез, если таковых законов будет недостаточно) и выяснение его биологической природы (например, способности усилием воли резко повышать температуру отдельных частей своего тела, концентрировать мощные электростатические заряды на ладонях и т.п.). Первый аспект относится к физике, второй — к физиологии. Изучение обоих важно для понимания уникальных и еще очень плохо исследованных особенностей человеческого организма.

Особый интерес представляет исследование воздействия экстрасенсов на свойства воды, поскольку последняя является главной составной частью всего живого, и, по мнению ряда специалистов, изучающих психофизические аномалии, это могло бы явиться ключом к объяснению многих весьма эффективных, но остающихся пока непонятными приемов экстрасенсорной практики.

Нашей целью является зафиксировать с помощью интерференционной методики эффекты экстрасенсорного воздействия на воду и путем сравнения с модельными опытами на муляжах определить вклад термического (лучевого) воздействия. Мысль о возможности чисто термического механизма подсказывают результаты исследования дистанционного воздействия на свойства воды неравновесных процессов растворения, интерпретировавшихся первоначально как доказательство существования темпорального поля Козырева («лучей времени») [1], но, которое, однако, удалось объяснить обычным инфракрасным, степен-больцмановским, излучением, без каких-либо гипотетических полей [2, 3].

Правда, воздействие экстрасенса на воду проявляется даже в том случае, когда кювета с водой помещена в вакуумированную камеру с 4 мм

¹⁾ Речь идет о достоверно установленных, допускающих многократное воспроизведение фактах, объективно фиксируемых физическими приборами. Мы не касаемся психофизических эффектов, о существовании которых можно судить лишь на основании субъективных показаний.



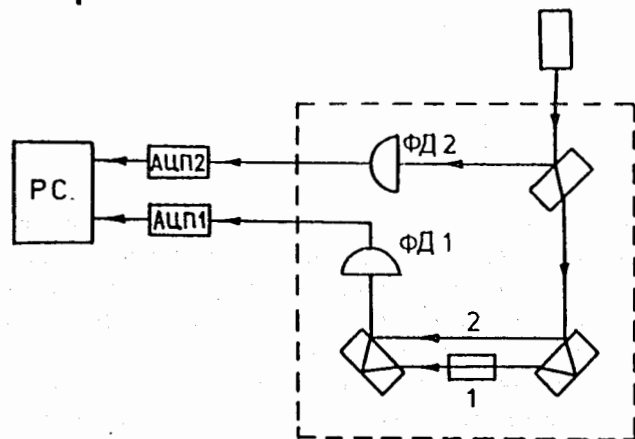


Рис.1. Принципиальная схема экспериментальной установки. 1 — кювета с исследуемой водой, через которую проходит лазерный луч; 2 — второй лазерный луч; ФД1 и ФД2 — фотодетекторы, АЦП1 и АЦП2 — 12-канальные аналого-цифровые преобразователи; РС — компьютер. Пунктиром отмечены границы вакуумированной камеры. Лазерный луч вводится в нее с помощью оптического волокна.

стальными стенками и смотровым окном из толстого 3 см плекса. С первого взгляда трудно поверить, что увеличение температуры на несколько градусов, которое способен вызвать у себя самовнушением тренированный экстрасенс, может поддѣствовать через такую мощную экранировку. Это — главное возражение против «теплого объяснения», предложенного в наших работах [2, 3].

Чтобы получить более четкие сведения, мы выполнили несколько серий измерений, привлекая для этого экстрасенсов с различным опытом и практикой²⁾ и для сравнения лиц, не отличающихся какими-либо экстрасенсорными способностями. Установка и условия экспериментов были те же, что и в наших работах [2, 3] (см. рис.1). Вакуум в камере (≈ 1 Па) исключал возможность акустического или конвекционного теплового воздействия испытуемого на интерференционную картину. При этом были установлены следующие закономерности:

Способностью влиять на свойства воды, изменяющей ее коэффициент преломления и, соответственно, смещающий наблюдаемую интерфе-

²⁾ В опытах участвовали экстрасенсы из ЦНИИТНМ «ЭНИОМ» (Москва) и коммерческого предприятия «Тибет» (Дубна). Привлекались лишь те экстрасенсы, которые зарекомендовали себя успешной клинической практикой.

ренционную картину, обладают как экстрасенсы, так и все другие участники эксперимента, различия лишь качественные;

Время проявления эффекта после начала сеанса специфично для каждого испытуемого; у экстрасенсов оно, как правило, по крайней мере вдвое короче, чем у других³⁾;

Эффект наблюдается лишь в том случае, когда испытуемый манипулирует ладонями рук непосредственно вблизи смотрового окна интерферометра; при удалении от прибора эффект исчезает.

В качестве примера на рис.2—4 показаны результаты непрерывной 5-часовой автоматической регистрации сдвига интерференционной картины (изменения оптической длины кюветы с водой L) при последовательном воздействии на прибор двух экстрасенсов. Рис.2 иллюстрирует фоновый дрейф $L(t)$. Как видно, его величина изменяется с течением времени, однако за время измерений характер этого изменения (вид функции $L(t)$) изменяется незначительно, что позволяет достаточно надежно выделить эффект воздействия экстрасенса. Два следующих рисунка показывают влияние экстрасенсов. При этом экстрасенс А действовал контактно, располагая ладони рук на смотровом окне камеры; экстрасенс Б действовал дистанционно, с расстояния 3 м. Из рис.3 видно, что экстрасенс А уже через 10—15 мин после начала сеанса вызвал отчетливо фиксируемое отклонение от фоновой зависимости. За 30-минутный сеанс изменение оптической длины ΔL , равное разности значений L в конце и начале сеанса, на порядок превысило соответствующую разность $\Delta L_{\text{фон}}$, вычисленную путем экстраполяции фоновой зависимости $L(t)$: $\Delta L / \Delta L_{\text{фон}} \approx 10$. С учетом медленно уменьшающегося последствия, продолжавшегося еще в течение двух часов, отношение $\Delta L / \Delta L_{\text{фон}} \approx 4$. Экстрасенс Б, действовавший с большого расстояния, не оказал заметного влияния на прибор⁴⁾.

Повторный сеанс экстрасенса А на 5-м часу измерений снова привел к четкому изменению положения интерференционных полос — их сдвигу в обратном направлении. При этом снова наблюдалось длительное последствие.

³⁾ У одного из экстрасенсов (мы будем далее говорить о нем, как об «экстрасенсе А») оно было даже вчетверо короче, и эффект становился заметным уже через 10 мин после начала сеанса.

⁴⁾ Различное направление фонового дрейфа в двух опытах с экстрасенсом А ($dL/dt > 0$ на рис.2 и $dL/dt < 0$ для верхней кривой на рис.4) объясняется волнообразным (синусоидальным) характером фоновой зависимости $L(t)$. Однако, как уже отмечалось выше, на протяжении каждого сеанса измерений с участием экстрасенса характер изменения $L(t)$ существенно не изменялся.

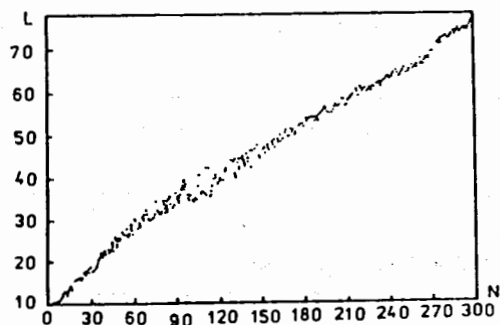


Рис.2. Изменение оптической длины кюветы с водой в зависимости от времени. Каждое значение L , в единицах 10^{-9} см, усреднено по интервалу $\Delta t = 12$ с. Полное время сеанса $300 \cdot \Delta t = 1$ час.

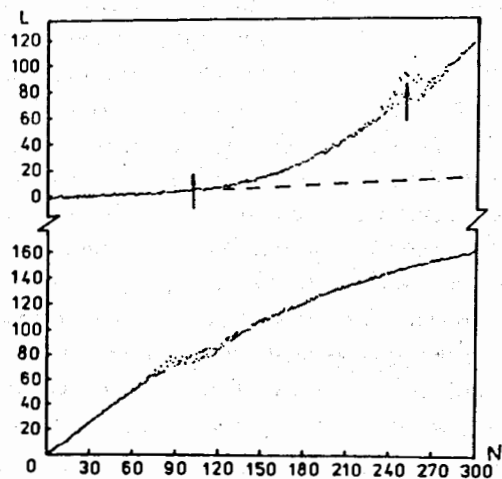


Рис.3. То же, что на рис.2. Вертикальными стрелками отмечены начало и конец работы экстра-сенса А. Пунктир — линейная экстра-поляция фотогового дрейфа. Верхняя кривая — второй, нижняя кривая — третий час работы экстра-сенсов.

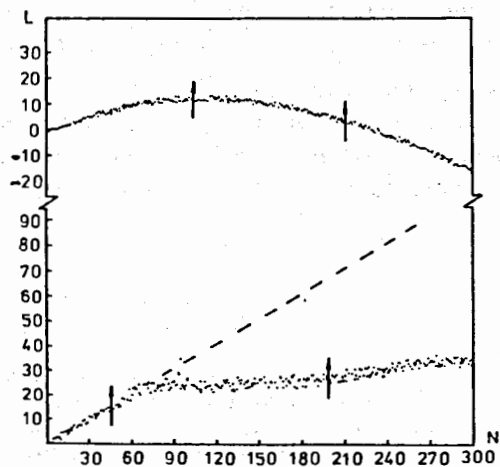
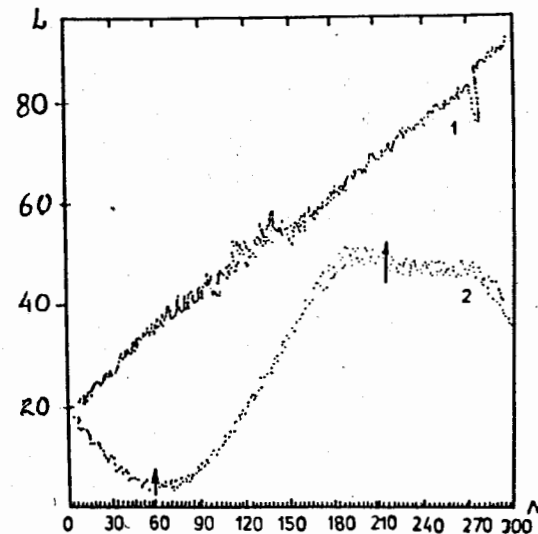


Рис.4. То же, что на рис.2 и 3. Вертикальные стрелки отмечают начало и конец работы экстра-сенса Б (на верхней кривой) и экстра-сенса А (на нижней кривой). Пунктир — экстраполяция фоновой зависимости. Верхняя кривая — четвертый, нижняя кривая — пятый час работы экстра-сенсов.

Рис.5. Изменение оптической длины кюветы с водой в опыте с муляжом. Каждое из 300 измерений для случая «1» соответствует 12 с (время сеанса — 1 ч), одно измерение в случае «2» соответствует 24 с (время сеанса 2 ч). 1 — температура муляжа комнатная (20°C), 2 — температура муляжа 39°C . Этому соответствуют точки $N = 60 + 210$. Точки $N < 60$ соответствуют 20°C , точки $N > 210$ — остывающему муляжу.



Аналогичные результаты были получены и с другими экстра-сенсами. Качественно все эти данные (в том числе запаздывание по отношению к началу работы экстра-сенса и эффект последействия) хорошо согласуются с предположением о термическом воздействии экстра-сенса на воду в кювете внутри вакуумированной камеры: постепенный прогрев испытываемых стенок камеры и лучевая передача тепла кювете с водой. Для того чтобы подтвердить этот механизм, были выполнены модельные опыты, в которых место экстра-сенса занимал хорошо контролируемый тепловой муляж из массивного зачерненного дюралюминия. Его температура доводилась до 39°C , после чего он помещался на смотровое окно интерференционной камеры. Все остальные условия опыта сохранялись в точности такими же, как в экспериментах с экстра-сенсами.

На рис.5 приведены результаты одного из сеансов измерений. Видно, что изменение оптической длины $L(t)$ — ее превышение над фоновым дрейфом $L(t)_{\text{фон}}$ — составляет такую же величину, как и в опытах с экстра-сенсами. При удалении муляжа от камеры эффект исчезал, как и в случае с экстра-сенсами.

Таким образом, дистанционное воздействие экстра-сенсов на свойства воды является достоверным фактом, который объясняется хорошо известным тепловым (электромагнитным) излучением. При этом, однако, остается загадкой механизм значительного повышения температуры отдельных частей тела, которым пользуется в своей практике экстра-сенс. Но это уже — область физиологии.

Мы благодарны Д.Е.Шабалину за помощь в проведении экспериментов.

Литература

1. Лаврентьев М.М. и др. — ДАН СССР, 1991, т.317, с.635.
2. Барашенков В.С., Гальперин Я.Г., Ляблин М.В. — Препринт ОИЯИ Р19-93-313, Дубна, 1993.
3. Барашенков В.С., Гальперин Я.Г., Ляблин М.В. — Парапсихология и психофизика, 1993, №1.

Рукопись поступила в издательский отдел
1 июня 1994 года.